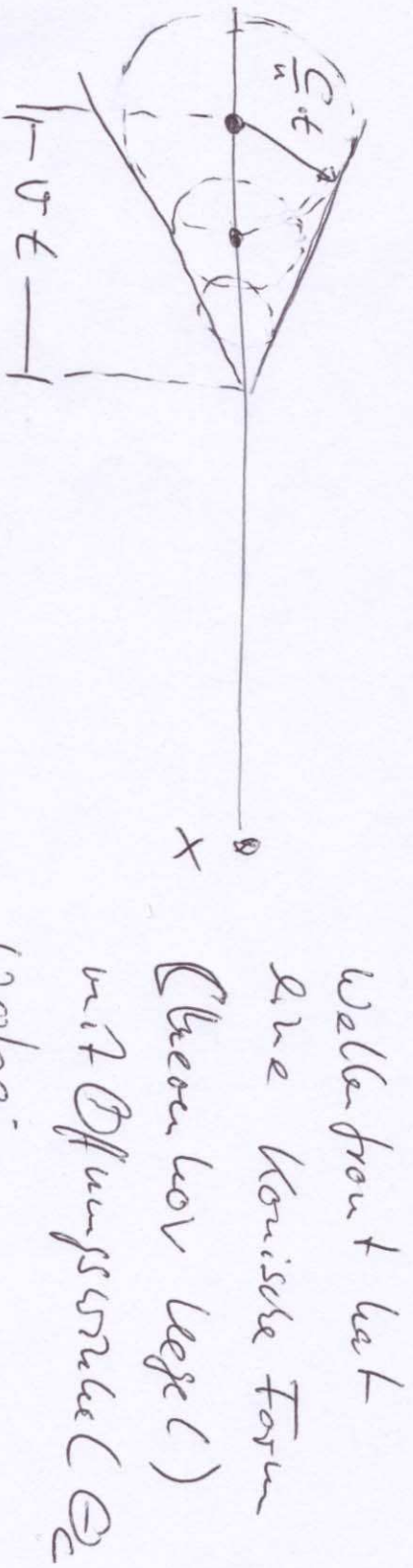


# Cheekov Snellius

(1)

Emission von En-Schall wenn sich ein geklumptes Tätsche mit der Geschwindigkeit größer als die des Lichtes in dem Medium ausstretet.

$$\text{Particle } > \frac{c}{n} \quad 1 \text{ m : Brechungsradij des Radius}$$



$$\cos \Theta_c = \frac{1}{\beta n(\omega)}$$

N.B. Energieverlust ist aber im Unfalle

zu 2. Bsp. Kollisionsverlust

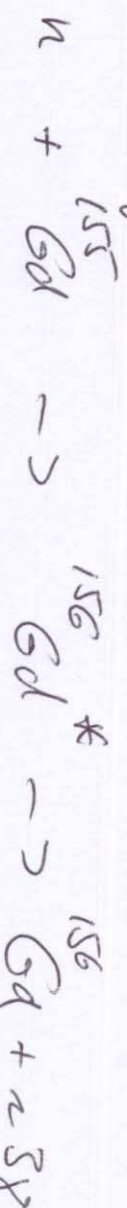
$$-\frac{\partial E}{\partial x} \approx 10^{-3} \text{ Rev cm}^2 \text{ g}^{-1}$$

Effekt wird z. Nachweis.  
Von Snellius zu Detektoren  
umgesetzt.

# Nachweis von Neuhonen

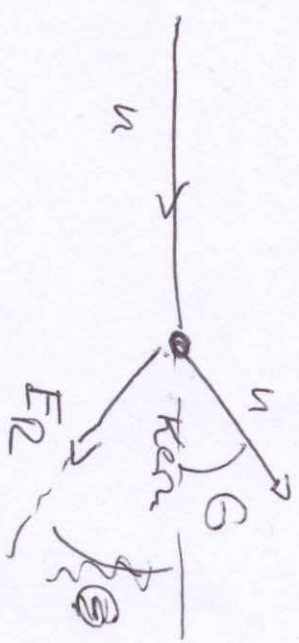
(2)

- 1) Nachweis über  $n$ -Einfang mit anschließender Emission von  $\beta$ -Quante



- Radiazengenegie wird frei
- $\gamma$  Emission in großvolumigen Scintillationsdetektoren

- 2) Nachweis von schneller Neuhonen über elastische Streuung



$$\bar{E}_R = \frac{2A}{(n+A)^2} (1 - \cos \phi^*) E_n$$

- A: Abstand des Targetkettens  
 $\phi^*$ : Winkel des Teilchens

in CMS

$$\bar{E}_{R\max} = \frac{4A}{(n+A)^2} E_n$$

$$\bar{E}_{R\max} = \bar{E}_n \quad \text{für } A$$

Neuhonen flauenlier  
 effizient für Rechte  
 Absorbermaterialien  
 $\text{C}_H_2O, \text{CuH}_2W+7$

## 6. Teilchenbeschleuniger

(3)

zu hohen Partikeln: Schwierigkeit

- ⑥ "Nikoskop" um leicht Strukturen zu untersuchen

$$\text{de Broglie: } \lambda = \frac{\hbar}{|\vec{p}|}$$

je größer die Energie (bzw.  $|\vec{p}|$ ), desto kürzer  
sind die auflösbarer Strukturen

⑦

Produktion von neuen (schwer, instabile) Teilchen

zu hohe energetische Teilchenkollisionen

Üblicherweise werden schwache u. stabile Teilchen  
beschleunigt:  $e^-$ ,  $e^+$ ,  $n$ ,  $\bar{n}$ , schwer (neu)  
zu der Zukunft  $\mu^\pm$

zur Möglichkeit, beschleunigte Teilchenstrahl

zu Kollision zu bringen,

1. Collision: Kollision mit zweiter (entgegengesetzter)  
Z-Schwell

## 2. Kollision mit festem Target

(4)

In bes. Fällen können entstehende Teilchen und WW untersucht werden mit festem Target  
können z.B. zu den Sekundär-Teilchen produziert werden, die relativ ungebremst und somit nicht beschleunigt werden können

Mikroskop

$$|\vec{p}_1| = 1 \frac{\text{GeV}}{c} \rightarrow \lambda = 1,24 \cdot 10^{-15} \text{ m}$$

$\approx$  Größe eines Protons

$$|\vec{p}| = 10^3 \frac{\text{GeV}}{c} \rightarrow \lambda = 1,24 \cdot 10^{-18} \text{ m}$$

$\approx$  Größe der Proton-Sub-Strukturen (Quarks)

siehe nach unten Tabelle

Kollision von Teilchen mit  $m_1 \vec{p}_1$  und  
Teilchen  $m_2 \vec{p}_2$

Energie im Laborsystem

$$\tilde{E}_L = \sqrt{\tilde{p}_1^2 c^2 + m_1^2 c^4} + \sqrt{\tilde{p}_2^2 c^2 + m_2^2 c^4}$$

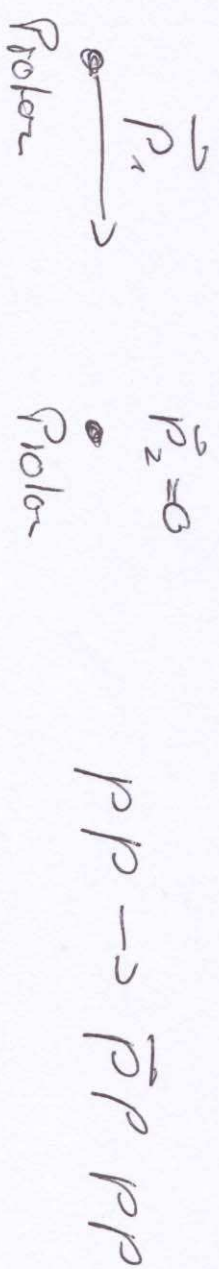
$$|\vec{p}_L| = |\vec{p}_1 + \vec{p}_2|$$

$$\text{L1: } E_L^2 - \cancel{p}_L^2 c^2 \stackrel{(1)}{=} E^{2*} - \cancel{\tilde{p}_L^2 c^2}$$

$$E^* = \sqrt{E_L^2 - \cancel{\tilde{p}_L^2 c^2}}$$

Schwellenergie für die Produktion neuer Teilchen

$$E^* = \sum_i m_i c^2 \quad E_{\text{kin}} = 0$$



$$m_1 = m_2 = m = 0,9383 \frac{GeV}{c^2}$$

(5)

$$|\vec{p}_L| = |\vec{p}_r|, |\vec{p}_2| = 0$$

$$E^k = 4mc^2 = 3,75 \text{ GeV}$$

$$|\vec{p}_r| = 6,5 \frac{\text{GeV}}{c}$$

Schwerpunktenergie  $\sqrt{s}$ : Gesamtewige aller

an einem Prozess beteiligte Teilchen, bezüglich

ihres gemeinsamen Schwerpunktssystems

$$\sqrt{s} = \sqrt{\left(\sum_{i=1}^n p_i\right)^2}$$

$p_i$ : Vierimpuls  
des i.-ten Teilchens

Bsp 1 Kollision zwei er Teilchen mit eingeschränktem Impuls

$$p_1 = \begin{pmatrix} E \\ p_x \\ p_y \\ p_z \end{pmatrix} \quad \text{und} \quad p_2 = \begin{pmatrix} E \\ -p_x \\ -p_y \\ -p_z \end{pmatrix}$$

(6) (7)

$$\sqrt{s} = \sqrt{\left( \begin{pmatrix} \bar{E} \\ p_x \\ p_y \\ p_2 \end{pmatrix} + \begin{pmatrix} \bar{E} \\ -p_x \\ -p_y \\ -p_2 \end{pmatrix} \right)^2} = \sqrt{4\bar{E}^2} = 2\bar{E}$$

Bsp 2  
Teilchen A mit  $\bar{E}_a$  und  $v_a$  trifft  
auf Teilchen B mit  $v_B$

$$C \equiv 1 = \frac{\sqrt{\left( \begin{pmatrix} \bar{E}_a \\ p_x \\ p_y \\ p_2 \end{pmatrix} + \begin{pmatrix} v_B \\ 0 \\ 0 \\ 0 \end{pmatrix} \right)^2}}{\sqrt{\left( \begin{pmatrix} \bar{E}_a \\ p_x \\ p_y \\ p_2 \end{pmatrix} + \begin{pmatrix} 0 \\ 0 \\ 0 \\ 0 \end{pmatrix} \right)^2}} = \sqrt{2\bar{E}_a v_B + v_a^2 + v_B^2}$$

für hoheren Energieintrag bei gleicher Dosisse  
der Teilchen Vgl. zu Schallausprägung bei  
der ist 1 187  $\sqrt{s} \approx \sqrt{2\bar{E}_a v_B}$

N.B.: Schwerpunktbeschleunigung  
wirkt der Schallausprägung

$\beta_{\text{exp}}$ :

$$\xrightarrow{\text{22 GeV}} + \xleftarrow{\text{22 GeV}} \text{ half glorified}$$

$$\sqrt{s} \text{ wie } \xrightarrow{1 \text{ TeV}} + \text{ fixed target} \\ \xleftarrow{1 \text{ TeV}} + \Leftrightarrow 10^3 \text{ TeV} + \text{ fixed target}$$

# Ekspedition

Power Point Präsentation  
Beschleunigung

Energie verlust durch Synchrotron Strahlung

Beschleunigte Ladung e mit Energie  $E$   
auf Kreisbahn mit Radius  $r_0$  abgebremst

Lösung

$$P(E, r_0) = \frac{e^2 c}{6\pi\epsilon_0 r_0^2} \left( \frac{E}{mc^2} \right)^4$$

$$= \frac{ec}{6\pi\epsilon_0 r_0^2} \left( \frac{8^4}{c} \right)^4$$

99